

ノート

野蚕糸と家蚕糸の簡易鑑別

桑田信一郎*，藤田桂一**

1はじめに

絹糸にはかいこ (*Bombyx mori*) の吐出糸である家蚕糸の他に、類似の虫 (*Antheraea pernyi*, *Antheraea mylitta* など) から得られる野蚕糸がある。

従来、野蚕糸と家蚕糸の鑑別には主として赤外線吸収スペクトル法^{1,2)}が用いられてきた。しかし、この方法は前処理(精練)を必要としたり試料の溶解やフィルムの作成に時間がかかるうえ、溶媒に危険なトリフルオロ酢酸などを使用する必要がある。またスペクトルにおける非常に弱い吸収帯を対象にするため、やや熟練を要した。

他の鑑別法として染色性や酸などに対する耐薬品性の相違による方法も試みられているが、これらは精練の度合に影響をされ、又鑑別に熟練を要する。

今回、X線回折法について検討したところ前処理がまったく不要で短時間に測定ができ、しかも熟練を必要としない鑑別法を見い出したので報告する。

2 実験

2・1 使用機器

X線発生機：理学電機製 普及型

X線カメラ：理学電機製 平板カセットカメラ

X線回折計：理学電機製 ガイガーフレックスD2型

2・2 試料

今回検討した試料を Table1 に示す。野蚕糸のものには試料番号に W を、家蚕糸のものには B を付け、それぞれを区別した。

Table1 List of silk samples

	No.	Description	Origin
Wild silk	W-1	Raw silk, water reeled	China
	W-2	Raw silk, dry reeled	China
	W-3	Tussah silk	China
	W-4	Tussah silk	China
	W-5	Cassah spun silk yarn	China
	W-6	Cassah spun silk yarn	China
	W-7	Tussah spun silk yarn	China
	W-8	Tussah silk	Korea
	W-9	Tussah native silk	Unknown
	W-10	Tussah native silk	Unknown
	W-11	Spun silk yarn	Unknown
<i>Bombyx mori</i>	B-1	Raw silk	China
	B-2	Native silk	China
	B-3	Spun silk yarn	China
	B-4	Raw silk	Korea
	B-5	Spun silk yarn	India
	B-6	Raw silk	Unknown
	B-7	Spun silk yarn	Unknown

2・3 実験法

(1) X線纖維写真

試料を束ねて直径約 0.5mm にしたものについて、平板カセットカメラを用いて纖維写真を撮影した。撮影条件を次に示す。

X-ray : CuK = 1.542, Filter : Ni

Voltage : 40KV, Current : 20mA

(2) X線回折曲線

X線回折曲線の測定には Fig.1(a) 及び(b) に示す試料ホルダーを自作して使用した。このホルダーに束ねて直径約 2mm にした試料を取り付け、下記の条件で赤道線($l = 0$) の X線回折曲線を測定した。又簡易法

* 大蔵省関税中央分析所 271 千葉県松戸市岩瀬 531

** 長崎税關輸入部 850 長崎市出島町 1 番 36 号

として同様の試料を通常のアルミ製ホルダーにセロファンテープで貼り付けたもの(Fig.1(c))についても測定を試みた。

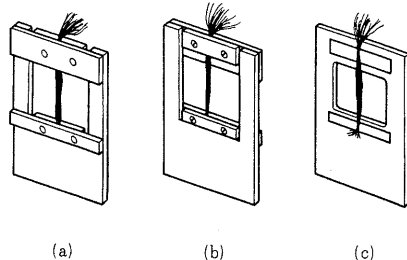


Fig.1 Sample holders for X-ray diffractometry of silk fibroin of our own making ((a) : face, (b) : back) and (c) : by use of adhesive tape

X-ray : CuK $\lambda = 1.542 \text{ \AA}$, Filter : Ni
 Voltage : 35KV, Current : 20mA
 Time Constant : 1 sec, Count full scale : 400 or 800cps, Scanning speed : $1^\circ / \text{min}$, Divergency slit : 1° , Receiving slit : 0.15mm, Detector : SC

3 結果及び考察

(1) X線纖維写真

野蚕糸及び家蚕糸について得られた纖維写真の例を Fig.2 (a) 及び (b) にそれぞれ示す。Table 1 に掲げた全試料についても同様の纖維写真が得られた。

纖維写真から測定した大まかな格子定数を Table 2 に示す。

野蚕糸及び家蚕糸の結晶構造については Warwicker^{3,4)}

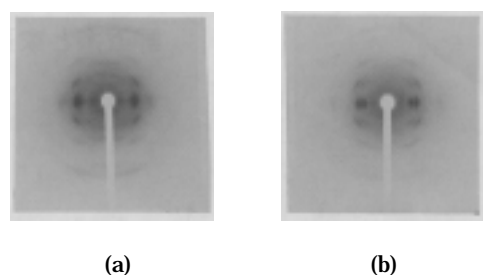


Fig.2 X-ray fiber diagrams of (a) Wild silk and (b) *Bombyx mori* fibroins

や Marsh ら⁵⁾の報告がある。彼らによって示された結晶学的データ及び Bamford ら⁶⁾によって報告された β -ポリ-L-アラニンのデータをも合わせて Table 2 に掲げ比較した。Warwicker と Marsh らのデータは野蚕糸については一致しており家蚕糸についても類似しているが、我々の測定結果は彼らのデータとの間に次の様な差がみられる。特に彼らの値と比べ野蚕糸、家蚕糸ともに軸比 c/a の値がやや小さいことが挙げられる。また野蚕糸と家蚕糸の纖維周期を比較すると家蚕糸の方が若干 (0.04 度) 長い。 β -polyl-alanine のデータもこの傾向を示しているが、Warwicker のものは両者ともに 6.95 で等しい。今回得られた野蚕糸のデータは彼らの野蚕糸のデータよりは Bamford らの β -ポリ-L-アラニンのものに近似していた。

ところで、野蚕糸と家蚕糸の単位格子の大きな相違点は Table 2 のデータが示しているように a 軸方向にある。これは野蚕糸の結晶部分がポリアラニン構造 (メチル基が a 軸方向に分子鎖の両側に張り出している) であり、アラニン - グリシン交互共重合構造(メ

Table 2 Crystallographic data for wild silk, *Bombyx mori* and β -poly-L-alanine

	wild silk			<i>Bombyx mori</i>			β -poly-L-alanine
	this work	Warwicker ⁴⁾	Marsh et al. ⁵⁾	this work	Warwicker ⁴⁾	Marsh et al. ⁵⁾	Bamford et al. ⁶⁾
crystal system	orthorhombic	orthorhombic	orthorhombic	orthorhombic	orthorhombic	orthorhombic	orthorhombic
a (Å)	10.7	10.6	10.6	9.4	9.3	9.20	10.7
b (Å)	9.7	9.44	9.44	9.7	9.44	9.40	4.79 (9.58)
c (fiber axis, Å)	6.9	6.95	6.95	6.9	6.95	6.97	6.88
c/a	0.64	0.656	0.656	0.73	0.747	0.758	0.643

チル基が分子鎖の片側一方向に張り出している。)をしている家蚕糸の結晶部分に比較するとメチル基の大きさだけ分子鎖が太くなっているためである (Fig.3)。

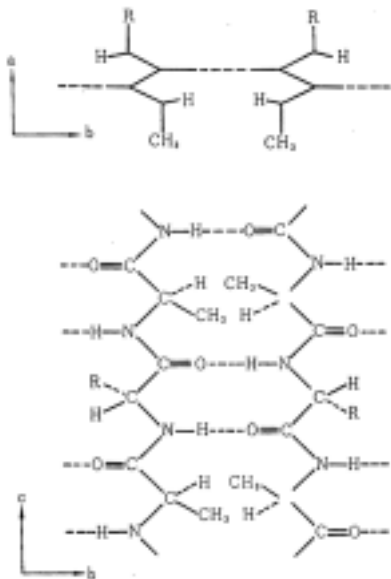


Fig.3 Structure of silk fibroin, Wild silk : R=CH₃, *Bombyx mori* : R=H

このように野蚕糸は a 軸と b 軸の長さが大きく異なっているため纖維写真において (200) と (120), (201) と (121) の回折線が明瞭に分離して認められるが、家蚕糸では単位格子が正方晶系に近いので、これらの回折線はほとんど重なって現われている。纖維写真におけるこれらの差から両者の鑑別は可能である。

(2) X線回折曲線

(1) で述べたように X 線纖維写真によって野蚕糸と家蚕糸の鑑別は可能であるが、試料のセッティングや、暗室操作を考えるとあまり簡単な方法とは言い難い。そこでこれをさらに簡便化するため X 線回折計による方法を検討した。

纖維は配向しているので、その X 線回折曲線を得るために試料をゴニオメーターの中心に正しくセットしなければならない。そうすれば赤道線上を走査することにより纖維写真の場合と同様に野蚕糸と家蚕糸の鑑別がされることになる。

そこで試料を正しくしかも簡単にセットするため Fig.1 (a) 及び (b) に示す試料ホルダーを自作した。

この試料ホルダーを用いて反射法によって測定した蚕糸の赤道線上 (l = 0) の回折曲線の一例を Fig.4 に示す。又 Table1 に掲げた全試料について測定した回折曲線における各回折線の回折角 (2 θ) を Table3 にまとめた。

Table 3 X-ray diffraction angles (2 θ , °) of silk samples

No.	(200)	(120)	(400)	No.	(120)	(300)	(400)
W-1	16.5	20.0	33.6	B-1	20.4	28.8	38.2
W-2	16.5	20.0	33.5	B-2	20.4	29.0	38.2
W-3	16.6	20.1	33.5	B-3	20.4	28.8	38.0
W-4	16.5	20.0	33.7	B-4	20.4	28.8	38.2
W-5	16.7	20.1	34.1	B-5	20.4	28.5	38.0
W-6	16.6	20.2	33.6	B-6	20.5	29.0	38.2
W-7	16.5	20.0	33.5	B-7	20.4	28.7	38.2
W-8	16.5	20.0	33.6				
W-9	16.5	20.1	33.5				
W-10	16.6	20.1	33.7				
W-11	16.6	20.1	33.6				

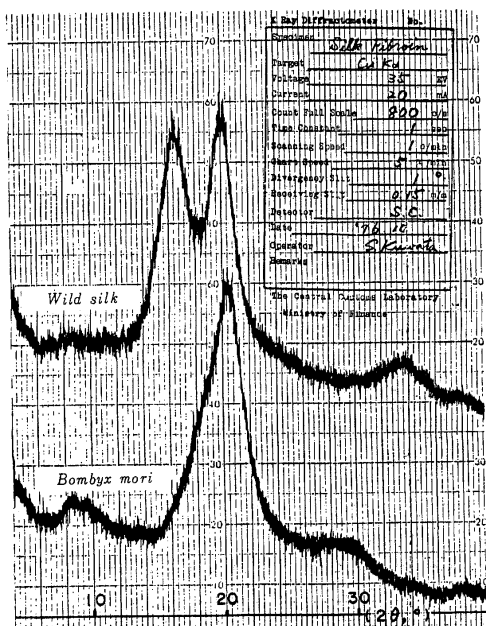


Fig.4 X-ray diffraction curves of Wild silk and *Bombyx mori* fibroins

この結果、測定した全ての試料は野蚕糸又は家蚕糸の特徴的なパターンを示した。すなわち野蚕糸は回折曲線上 $2\theta = 16.5^\circ$ 付近に(200)の回折線が、又 $2\theta = 20.1^\circ$ 付近に(120)の回折線がそれぞれはっきり分離して認められるが、家蚕糸においては $2\theta = 20.4^\circ$ 付近に(200)と(120)の回折線がほとんど重なって現われている。その他に野蚕糸では $2\theta = 33.6^\circ$ 付近に(400)の回折線が、一方家蚕糸では $2\theta = 28.8^\circ$ 付近に(300)の回折線がそれぞれ認められ、これから両者は明瞭に鑑別できる。

試料ホルダーを自作する場合は X 線を妨げないように十分留意する必要がある。Fig.1(a)及び(b)に示すようにホルダーの窓を十分に大きく作らないと低角度側で X 線の入射を妨げ、極端な場合は野蚕糸の(200)回折線が現われないこともある。

そこでさらに簡略法としては Fig.1(c)に示すように通常の粉末用アルミ製ホルダーに試料をセロファンテープで貼り付けて X 線回折曲線を測定しても良い。こうすることによっても野蚕糸と家蚕糸は Fig.4 と同様な特徴的パターンを示した。この場合には試料はゴニオメーターの中心からずれているので、すべての回折線は 2θ で 0.5° 程度高角度側にずれることになるが、そのパターンは Fig.4 と同様であり、野蚕糸と家蚕糸の鑑別は十分可能であった。

4 終りに

赤道線の X 線回折曲線を測定することによって、野蚕糸と家蚕糸の鑑別は迅速でしかも的確に行いうことが判った。

また、野蚕糸及び家蚕糸の格子定数を纖維写真から測定した。その結果、Warwicker や Marsh らによつて報告された値と比較すると、野蚕糸、家蚕糸ともに軸比 c/a の値が小さかった。野蚕糸と家蚕糸の纖維周期を比較すると野蚕糸の纖維周期の方が短かかった。野蚕糸の格子定数については Warwicker や Marsh らの値よりも Bamford による -ポリ-L-アラニンの値に比較的よく一致していた。

Warwick⁴⁾によると野蚕糸には Table2 に示されている値とは異なった格子定数($a = 10.0$, $b = 9.44$, $c = 6.95$)を持つ種類 (*Anaphe moloneyi* など)も報告されているが、今回検討した試料にはみられなかつた。しかし、これらのものも同じ方法で X 線回折曲線($2\theta = 17.7^\circ$ 付近に(200)の回折線が(120)と分離して認められるであろう。)から鑑別ができるものと考えられる。

本研究を行うにあたり 試料を提供いただいた横浜税関、名古屋税關及び神戸税關の方々に感謝します。

文 献

- 1) K. Kuroiwa, M. Ishiguro and M. Araki : *Reports of the Central Customs Laboratory*, No. 5, 11 (1967).
- 2) K. Kuroiwa : " *Doctoral Thesis* ", P18 (1972).
- 3) J. O. Warwicker : *Acta Cryst.*, 7, 565 (1954).
- 4) J. O. Warwicker : *Trans, Faraday Soc.*, 52, 554 (1956).
- 5) R. E. Marsh, R. B. Corey and L. Pauling : *Acta Cryst.*, 8, 710 (1955).
- 6) C. H. Bamford, L. Brown, A. Elliott, W. E. Hanby and I. F. Trotter : *Nature*, 173, 27 (1954).

Simple Method of Identification of Wild Silk and *Bombyx Mori* Fibroins

Shin-ichiro KUWATA*, Keiichi FUJITA**

* Central Customs Laboratory, Ministry of Finance, 531, Iwase, Matsudo-shi, Chiba-ken, 271 Japan

** Nagasaki Customs, Import Devision 1-36, Dejima-cho, Nagasaki-shi, Nagasaki-ken, 850 Japan

Received Oct. 4, 1977